

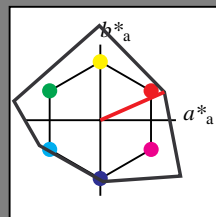
## Eingabe: Farbmétrisches Reflexions-System NCS11

für Buntton  $h^* = lab \cdot h = 24/360 = 0.066$  $lab \cdot tch$  und  $lab \cdot nch$ 

D65: Buntton R

LCH\*Ma: 47 92 24

rgb\*Ma: 1.0 0.0 0.0



## NCS11; adaptierte CIELAB-Daten

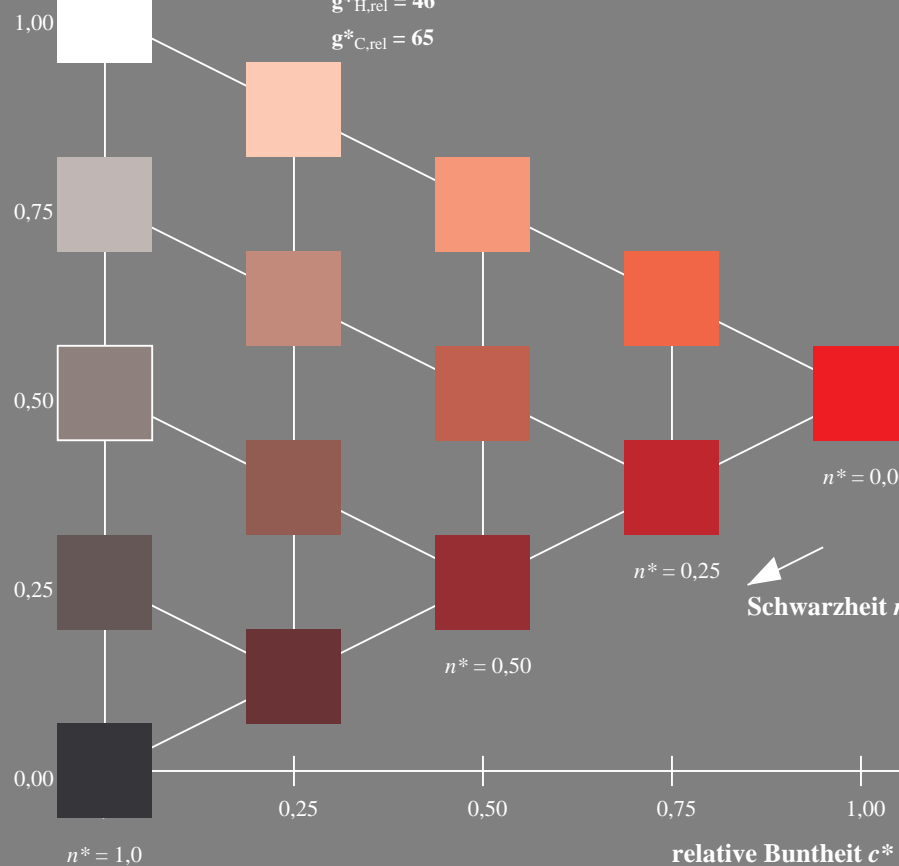
	$L^* = L^*_a$	$a^*_a$	$b^*_a$	$C^*_{ab,a}$	$h^*_{ab,a}$
RMa	47.15	84.64	37.25	92.48	24
JMa	91.37	-1.27	125.03	125.03	91
GMa	63.07	-114.28	25.35	117.06	167
G50BMa	59.47	-80.6	-33.45	87.28	203
BMa	49.01	3.65	-81.19	81.28	273
B50RMa	44.06	106.09	-73.93	129.32	325
NMa	10.99	0.0	0.0	0.0	0
WMa	95.41	0.0	0.0	0.0	0
RCIE	39.92	58.69	27.98	65.01	25
JCIE	81.26	-2.9	71.56	71.62	92
GCIE	52.23	-42.45	13.59	44.59	162
BCIE	30.57	1.35	-46.48	46.51	272

Dreiecks-Helligkeit  $t^*$ 

%Umfang

 $u^*_{rel} = 149$ 

%Regularität

 $g^*_{H,rel} = 46$  $g^*_{C,rel} = 65$ 

UG290-7, 5 stufige Reihen für konstanten CIELAB Buntton 24/360 = 0.066 (links)

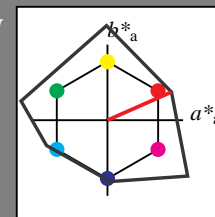
## Ausgabe: Farbmétrisches Reflexions-System NCS11

für Buntton  $h^* = lab \cdot h = 24/360 = 0.066$  $LAB \cdot LCH$ ,  $LAB \cdot NCH$ 

D65: Buntton R

LCH\*Ma: 47 92 24

rgb\*Ma: 1.0 0.0 0.0



## NCS11; adaptierte CIELAB-Daten

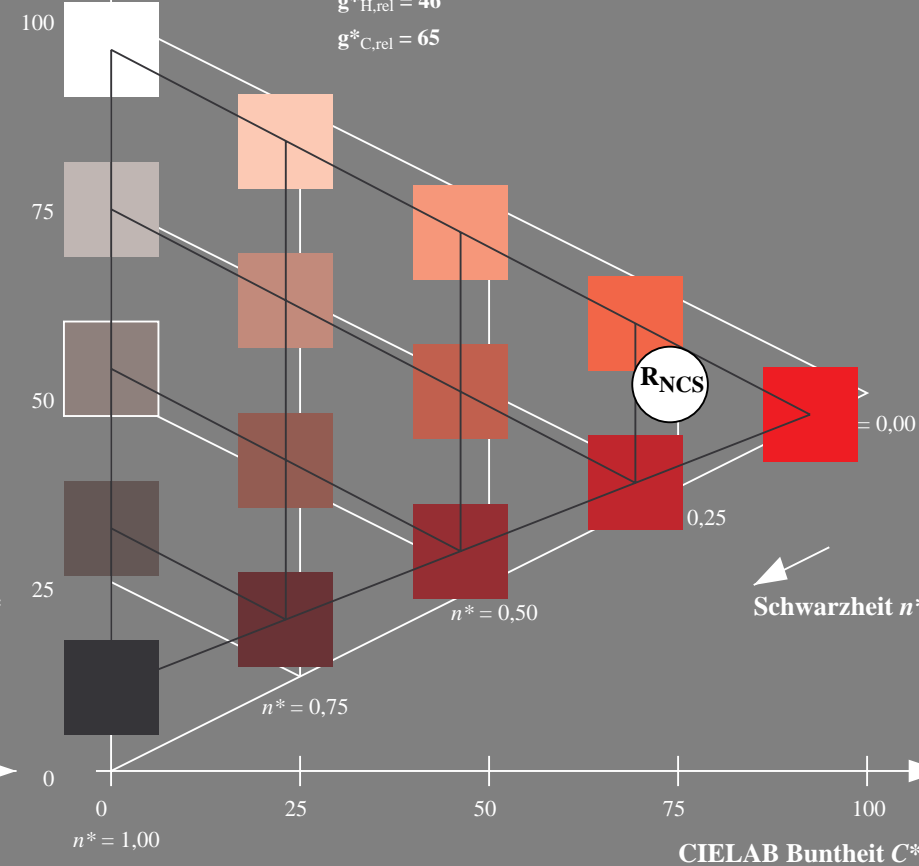
	$L^* = L^*_a$	$a^*_a$	$b^*_a$	$C^*_{ab,a}$	$h^*_{ab,a}$
RMa	47.15	84.64	37.25	92.48	24
JMa	91.37	-1.27	125.03	125.03	91
GMa	63.07	-114.28	25.35	117.06	167
G50BMa	59.47	-80.6	-33.45	87.28	203
BMa	49.01	3.65	-81.19	81.28	273
B50RMa	44.06	106.09	-73.93	129.32	325
NMa	10.99	0.0	0.0	0.0	0
WMa	95.41	0.0	0.0	0.0	0
RCIE	39.92	58.69	27.98	65.01	25
JCIE	81.26	-2.9	71.56	71.62	92
GCIE	52.23	-42.45	13.59	44.59	162
BCIE	30.57	1.35	-46.48	46.51	272

CIELAB-Helligkeit  $L^*$ 

%Umfang

 $u^*_{rel} = 149$ 

%Regularität

 $g^*_{H,rel} = 46$  $g^*_{C,rel} = 65$ 

5 stufige Reihen für konstanten CIELAB Buntton 24/360 = 0.066 (rechts)

BAM-Prüfvorlage UG29; Farbmétrik-Systeme ORS18 & ORS18input:  $cmY0^* setcmykcolor$ 

D65: Koordinaten-Systeme von 5stufigen Farbreihen für 10 Bunttoninput: Startup (S) data dependend

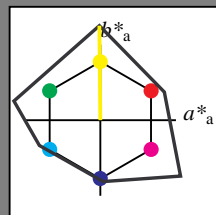
Eingabe: Farbmétrisches Reflexions-System NCS11

für Buntton  $h^* = lab \cdot h = 91/360 = 0.252$  $lab \cdot tch$  und  $lab \cdot nch$ 

D65: Buntton J

LCH\*Ma: 91 125 91

rgb\*Ma: 1.0 1.0 0.0



NCS11; adaptierte CIELAB-Daten

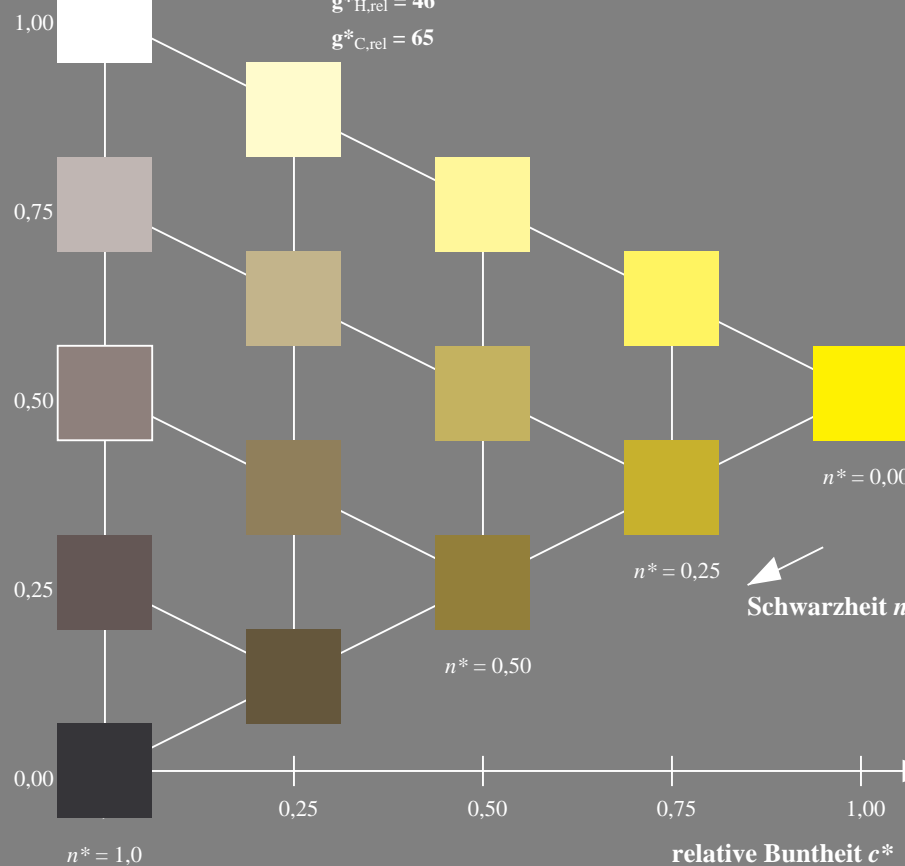
	$L^* = L^*_a$	$a^*_a$	$b^*_a$	$C^*_{ab,a}$	$h^*_{ab,a}$
RMa	47.15	84.64	37.25	92.48	24
JMa	91.37	-1.27	125.03	125.03	91
GMa	63.07	-114.28	25.35	117.06	167
G50BMa	59.47	-80.6	-33.45	87.28	203
BMa	49.01	3.65	-81.19	81.28	273
B50RMa	44.06	106.09	-73.93	129.32	325
NMa	10.99	0.0	0.0	0.0	0
WMa	95.41	0.0	0.0	0.0	0
RCIE	39.92	58.69	27.98	65.01	25
JCIE	81.26	-2.9	71.56	71.62	92
GCIE	52.23	-42.45	13.59	44.59	162
BCIE	30.57	1.35	-46.48	46.51	272

Dreiecks-Helligkeit  $t^*$ 

%Umfang

 $u^*_{rel} = 149$ 

%Regularität

 $g^*_{H,rel} = 46$  $g^*_{C,rel} = 65$ 

UG290-7, 5 stufige Reihen für konstanten CIELAB Buntton 91/360 = 0.252 (links)

BAM-Prüfvorlage UG29; Farbmétrik-Systeme ORS18 & ORS18input:  $cmY0^* setcmykcolor$ 

D65: Koordinaten-Systeme von 5stufigen Farbreihen für 10 Bunttoninput: Startup (S) data dependend

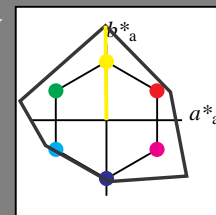
Ausgabe: Farbmétrisches Reflexions-System NCS11

für Buntton  $h^* = lab \cdot h = 91/360 = 0.252$  $LAB \cdot LCH$ ,  $LAB \cdot NCH$ 

D65: Buntton J

LCH\*Ma: 91 125 91

rgb\*Ma: 1.0 1.0 0.0



NCS11; adaptierte CIELAB-Daten

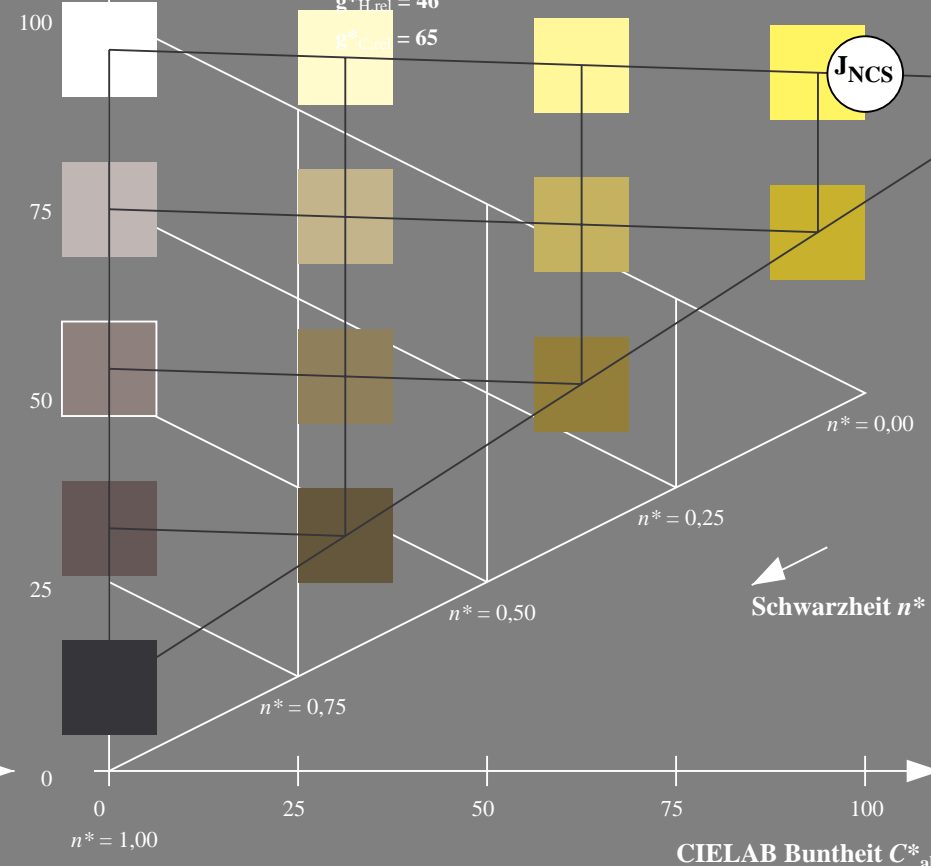
	$L^* = L^*_a$	$a^*_a$	$b^*_a$	$C^*_{ab,a}$	$h^*_{ab,a}$
RMa	47.15	84.64	37.25	92.48	24
JMa	91.37	-1.27	125.03	125.03	91
GMa	63.07	-114.28	25.35	117.06	167
G50BMa	59.47	-80.6	-33.45	87.28	203
BMa	49.01	3.65	-81.19	81.28	273
B50RMa	44.06	106.09	-73.93	129.32	325
NMa	10.99	0.0	0.0	0.0	0
WMa	95.41	0.0	0.0	0.0	0
RCIE	39.92	58.69	27.98	65.01	25
JCIE	81.26	-2.9	71.56	71.62	92
GCIE	52.23	-42.45	13.59	44.59	162
BCIE	30.57	1.35	-46.48	46.51	272

CIELAB-Helligkeit  $L^*$ 

%Umfang

 $u^*_{rel} = 149$ 

%Regularität

 $g^*_{H,rel} = 46$  $g^*_{C,rel} = 65$ 

5 stufige Reihen für konstanten CIELAB Buntton 91/360 = 0.252 (rechts)

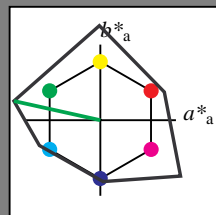
## Eingabe: Farbmétrisches Reflexions-System NCS11

für Buntton  $h^* = lab^*h = 167/360 = 0.465$  $lab^*tch$  und  $lab^*nch$ 

D65: Buntton G

LCH\*Ma: 63 117 167

rgb\*Ma: 0.0 1.0 0.0



## NCS11; adaptierte CIELAB-Daten

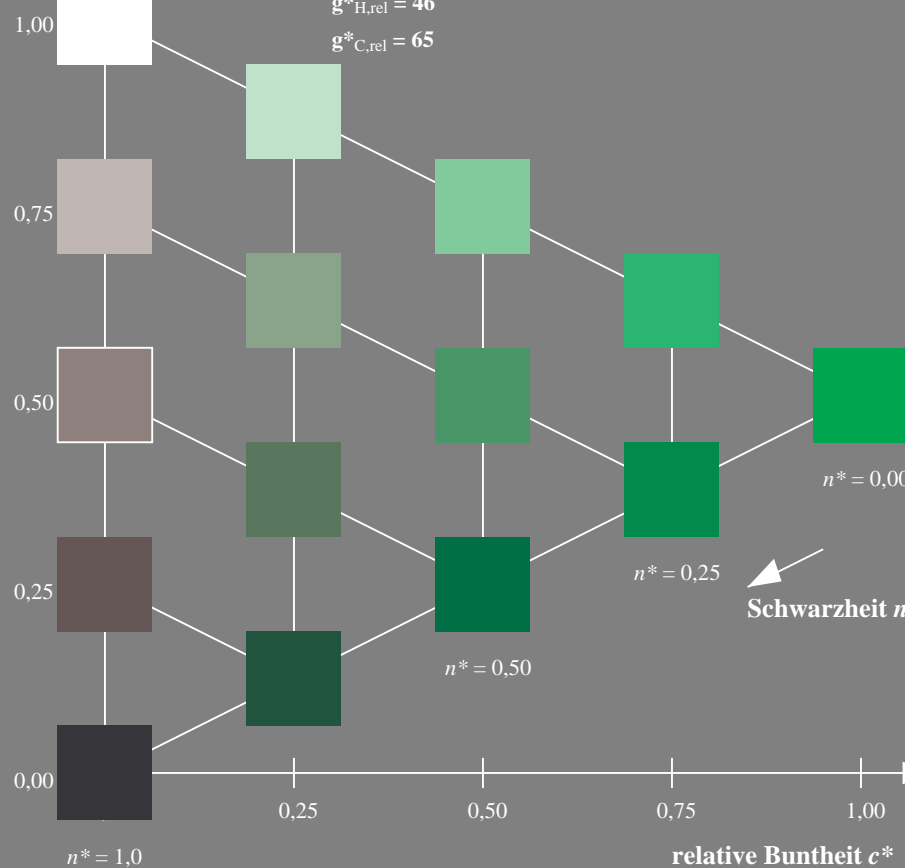
	$L^*=L^*_a$	$a^*_a$	$b^*_a$	$C^*_{ab,a}$	$h^*_{ab,a}$
RMa	47.15	84.64	37.25	92.48	24
JMa	91.37	-1.27	125.03	125.03	91
GMa	63.07	-114.28	25.35	117.06	167
G50BMa	59.47	-80.6	-33.45	87.28	203
BMa	49.01	3.65	-81.19	81.28	273
B50RMa	44.06	106.09	-73.93	129.32	325
NMa	10.99	0.0	0.0	0.0	0
WMa	95.41	0.0	0.0	0.0	0
RCIE	39.92	58.69	27.98	65.01	25
JCIE	81.26	-2.9	71.56	71.62	92
GCIE	52.23	-42.45	13.59	44.59	162
BCIE	30.57	1.35	-46.48	46.51	272

Dreiecks-Helligkeit  $t^*$ 

%Umfang

 $u^*_{rel} = 149$ 

%Regularität

 $g^*_{H,rel} = 46$  $g^*_{C,rel} = 65$ 

UG290-7, 5 stufige Reihen für konstanten CIELAB Buntton 167/360 = 0.465 (links)

BAM-Prüfvorlage UG29; Farbmétrik-Systeme ORS18 & ORS18input:  $cmY0^* setcmykcolor$ 

D65: Koordinaten-Systeme von 5stufigen Farbreihen für 10 Bunttoninput: Startup (S) data dependend

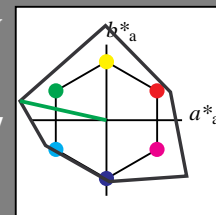
## Ausgabe: Farbmétrisches Reflexions-System NCS11

für Buntton  $h^* = lab^*h = 167/360 = 0.465$  $LAB^*LCH$ ,  $LAB^*NCH$ 

D65: Buntton G

LCH\*Ma: 63 117 167

rgb\*Ma: 0.0 1.0 0.0



## NCS11; adaptierte CIELAB-Daten

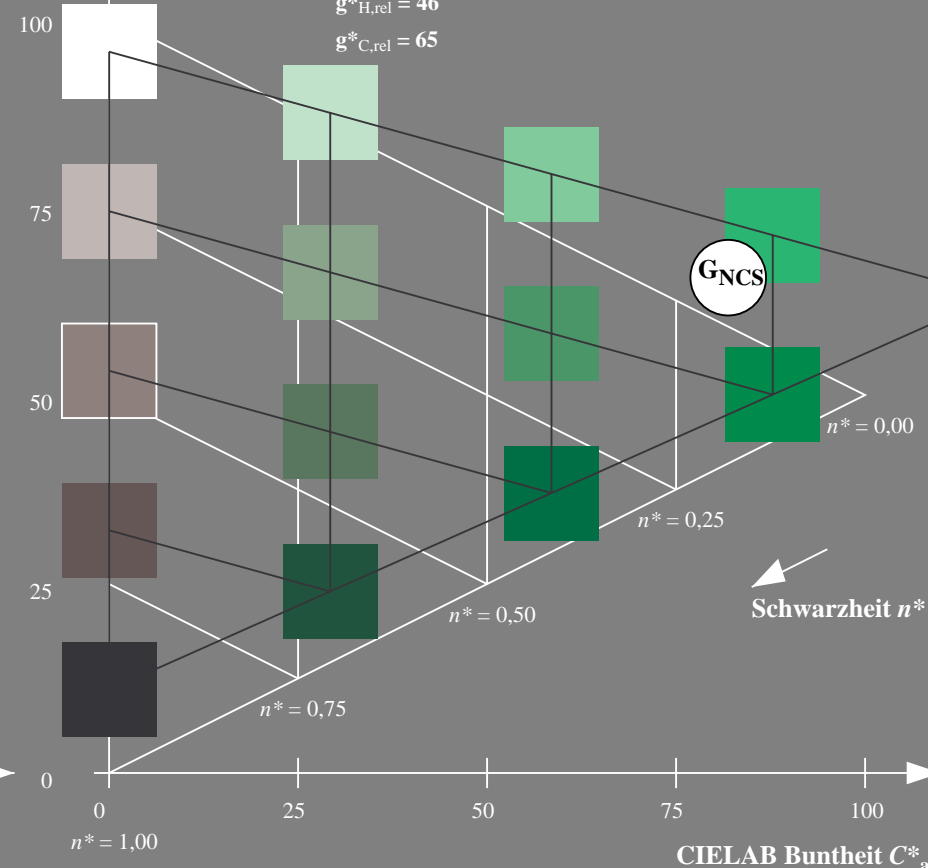
	$L^*=L^*_a$	$a^*_a$	$b^*_a$	$C^*_{ab,a}$	$h^*_{ab,a}$
RMa	47.15	84.64	37.25	92.48	24
JMa	91.37	-1.27	125.03	125.03	91
GMa	63.07	-114.28	25.35	117.06	167
G50BMa	59.47	-80.6	-33.45	87.28	203
BMa	49.01	3.65	-81.19	81.28	273
B50RMa	44.06	106.09	-73.93	129.32	325
NMa	10.99	0.0	0.0	0.0	0
WMa	95.41	0.0	0.0	0.0	0
RCIE	39.92	58.69	27.98	65.01	25
JCIE	81.26	-2.9	71.56	71.62	92
GCIE	52.23	-42.45	13.59	44.59	162
BCIE	30.57	1.35	-46.48	46.51	272

CIELAB-Helligkeit  $L^*$ 

%Umfang

 $u^*_{rel} = 149$ 

%Regularität

 $g^*_{H,rel} = 46$  $g^*_{C,rel} = 65$ 

5 stufige Reihen für konstanten CIELAB Buntton 167/360 = 0.465 (rechts)

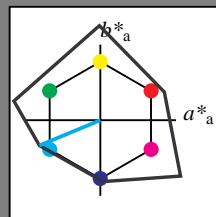
## Eingabe: Farbmimetrisches Reflexions-System NCS11

für Buntton  $h^* = lab \cdot h = 203/360 = 0.563$  $lab \cdot tch$  und  $lab \cdot nch$ 

D65: Buntton G50B

LCH\*Ma: 59 87 203

rgb\*Ma: 0.0 1.0 1.0



## NCS11; adaptierte CIELAB-Daten

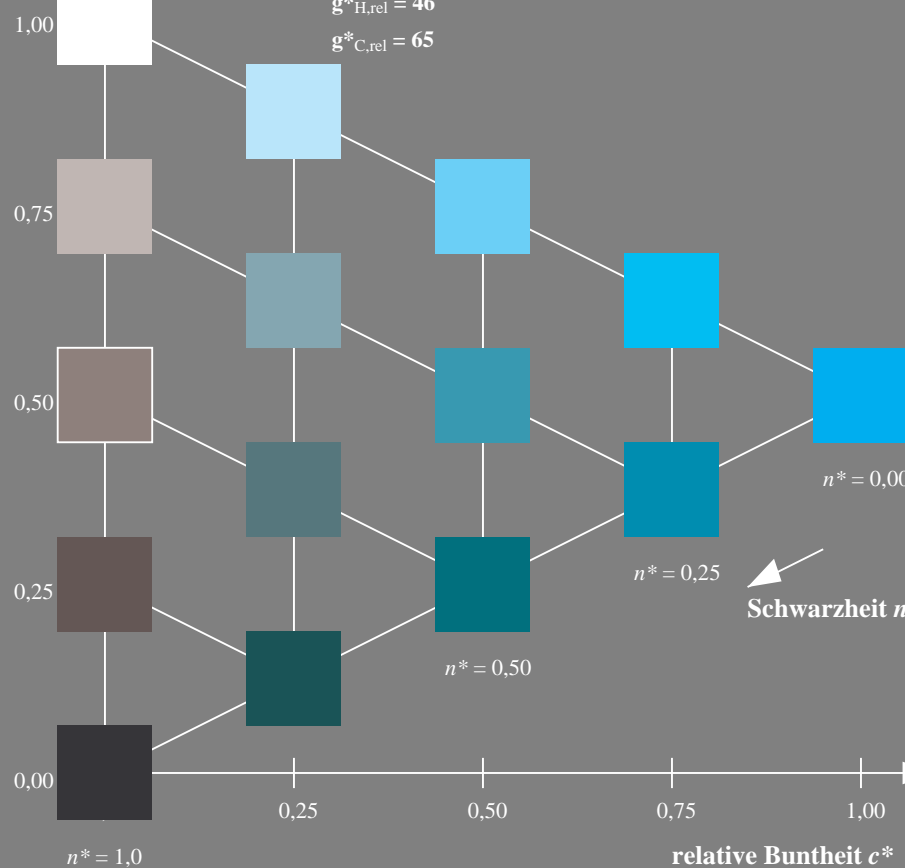
	$L^* = L^*_a$	$a^*_a$	$b^*_a$	$C^*_{ab,a}$	$h^*_{ab,a}$
RMa	47.15	84.64	37.25	92.48	24
JMa	91.37	-1.27	125.03	125.03	91
GMa	63.07	-114.28	25.35	117.06	167
G50B <sub>Ma</sub>	59.47	-80.6	-33.45	87.28	203
B <sub>Ma</sub>	49.01	3.65	-81.19	81.28	273
B50R <sub>Ma</sub>	44.06	106.09	-73.93	129.32	325
N <sub>Ma</sub>	10.99	0.0	0.0	0.0	0
W <sub>Ma</sub>	95.41	0.0	0.0	0.0	0
RCIE	39.92	58.69	27.98	65.01	25
JCIE	81.26	-2.9	71.56	71.62	92
GCIE	52.23	-42.45	13.59	44.59	162
BCIE	30.57	1.35	-46.48	46.51	272

Dreiecks-Helligkeit  $t^*$ 

%Umfang

 $u^*_{rel} = 149$ 

%Regularität

 $g^*_{H,rel} = 46$  $g^*_{C,rel} = 65$ 

UG290-7, 5 stufige Reihen für konstanten CIELAB Buntton 203/360 = 0.563 (links)

BAM-Prüfvorlage UG29; Farbmimetrische Systeme ORS18 & ORS18input:  $cmY0^* setcmykcolor$ 

D65: Koordinaten-Systeme von 5stufigen Farbreihen für 10 Bunttoninput: Startup (S) data dependend

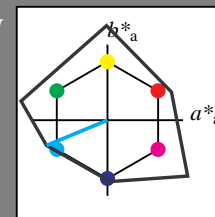
## Ausgabe: Farbmimetrisches Reflexions-System NCS11

für Buntton  $h^* = lab \cdot h = 203/360 = 0.563$  $LAB \cdot LCH$ ,  $LAB \cdot NCH$ 

D65: Buntton G50B

LCH\*Ma: 59 87 203

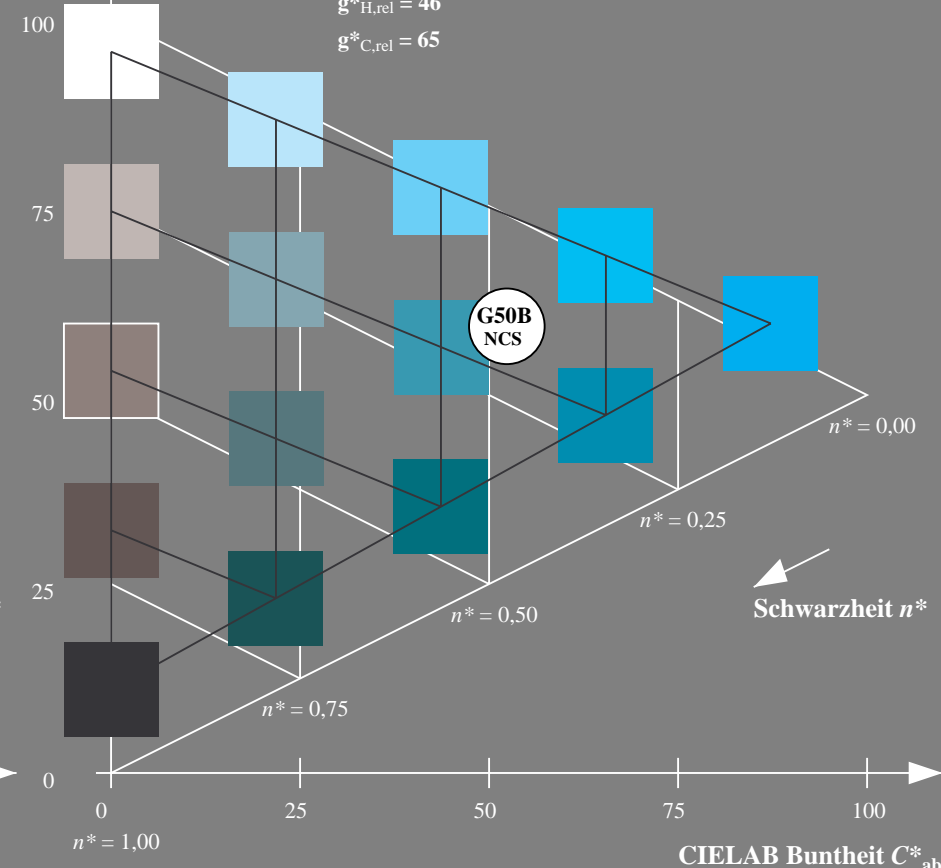
rgb\*Ma: 0.0 1.0 1.0

CIELAB-Helligkeit  $L^*$ 

%Umfang

 $u^*_{rel} = 149$ 

%Regularität

 $g^*_{H,rel} = 46$  $g^*_{C,rel} = 65$ 

5 stufige Reihen für konstanten CIELAB Buntton 203/360 = 0.563 (rechts)

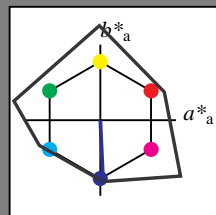
## Eingabe: Farbmétrisches Reflexions-System NCS11

für Buntton  $h^* = lab \cdot h = 273/360 = 0,757$  $lab \cdot tch$  und  $lab \cdot nch$ 

D65: Buntton B

LCH\*Ma: 49 81 273

rgb\*Ma: 0.0 0.0 1.0



## NCS11; adaptierte CIELAB-Daten

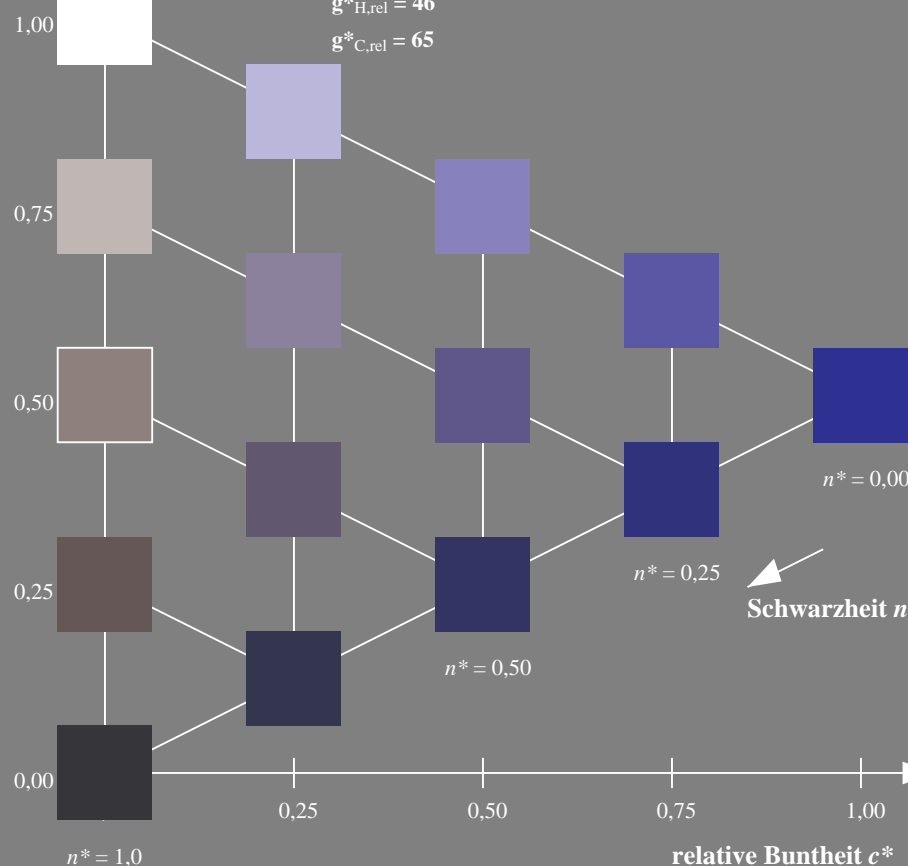
	$L^* = L^*_a$	$a^*_a$	$b^*_a$	$C^*_{ab,a}$	$h^*_{ab,a}$
RMa	47.15	84.64	37.25	92.48	24
JMa	91.37	-1.27	125.03	125.03	91
GMa	63.07	-114.28	25.35	117.06	167
G50BMa	59.47	-80.6	-33.45	87.28	203
BMa	49.01	3.65	-81.19	81.28	273
B50RMa	44.06	106.09	-73.93	129.32	325
NMa	10.99	0.0	0.0	0.0	0
WMa	95.41	0.0	0.0	0.0	0
RCIE	39.92	58.69	27.98	65.01	25
JCIE	81.26	-2.9	71.56	71.62	92
GCIE	52.23	-42.45	13.59	44.59	162
BCIE	30.57	1.35	-46.48	46.51	272

Dreiecks-Helligkeit  $t^*$ 

%Umfang

 $u^*_{rel} = 149$ 

%Regularität

 $g^*_{H,rel} = 46$  $g^*_{C,rel} = 65$ 

UG290-7, 5 stufige Reihen für konstanten CIELAB Buntton 273/360 = 0.757 (links)

BAM-Prüfvorlage UG29; Farbmétrik-Systeme ORS18 & ORS18input:  $cmy0^* setcmykcolor$ 

D65: Koordinaten-Systeme von 5stufigen Farbreihen für 10 Bunttoninput: Startup (S) data dependend

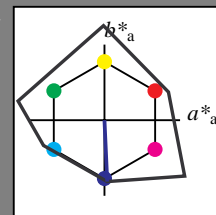
## Ausgabe: Farbmétrisches Reflexions-System NCS11

für Buntton  $h^* = lab \cdot h = 273/360 = 0,757$  $LAB \cdot LCH$ ,  $LAB \cdot NCH$ 

D65: Buntton B

LCH\*Ma: 49 81 273

rgb\*Ma: 0.0 0.0 1.0



## NCS11; adaptierte CIELAB-Daten

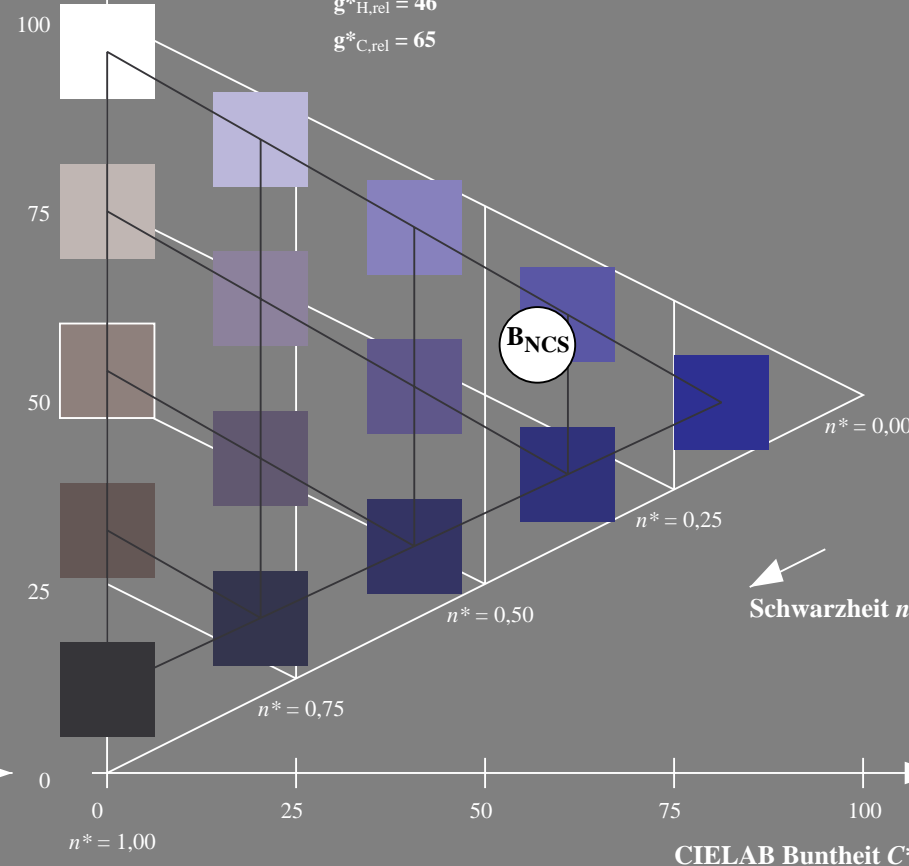
	$L^* = L^*_a$	$a^*_a$	$b^*_a$	$C^*_{ab,a}$	$h^*_{ab,a}$
RMa	47.15	84.64	37.25	92.48	24
JMa	91.37	-1.27	125.03	125.03	91
GMa	63.07	-114.28	25.35	117.06	167
G50BMa	59.47	-80.6	-33.45	87.28	203
BMa	49.01	3.65	-81.19	81.28	273
B50RMa	44.06	106.09	-73.93	129.32	325
NMa	10.99	0.0	0.0	0.0	0
WMa	95.41	0.0	0.0	0.0	0
RCIE	39.92	58.69	27.98	65.01	25
JCIE	81.26	-2.9	71.56	71.62	92
GCIE	52.23	-42.45	13.59	44.59	162
BCIE	30.57	1.35	-46.48	46.51	272

CIELAB-Helligkeit  $L^*$ 

%Umfang

 $u^*_{rel} = 149$ 

%Regularität

 $g^*_{H,rel} = 46$  $g^*_{C,rel} = 65$ 

5 stufige Reihen für konstanten CIELAB Buntton 273/360 = 0.757 (rechts)

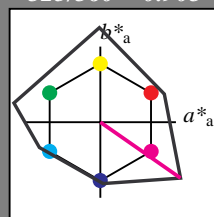
Eingabe: Farbmétrisches Reflexions-System NCS11

für Buntton  $h^* = lab \cdot h = 325/360 = 0.903$  $lab \cdot tch$  und  $lab \cdot nch$ 

D65: Buntton B50R

LCH\*Ma: 44 129 325

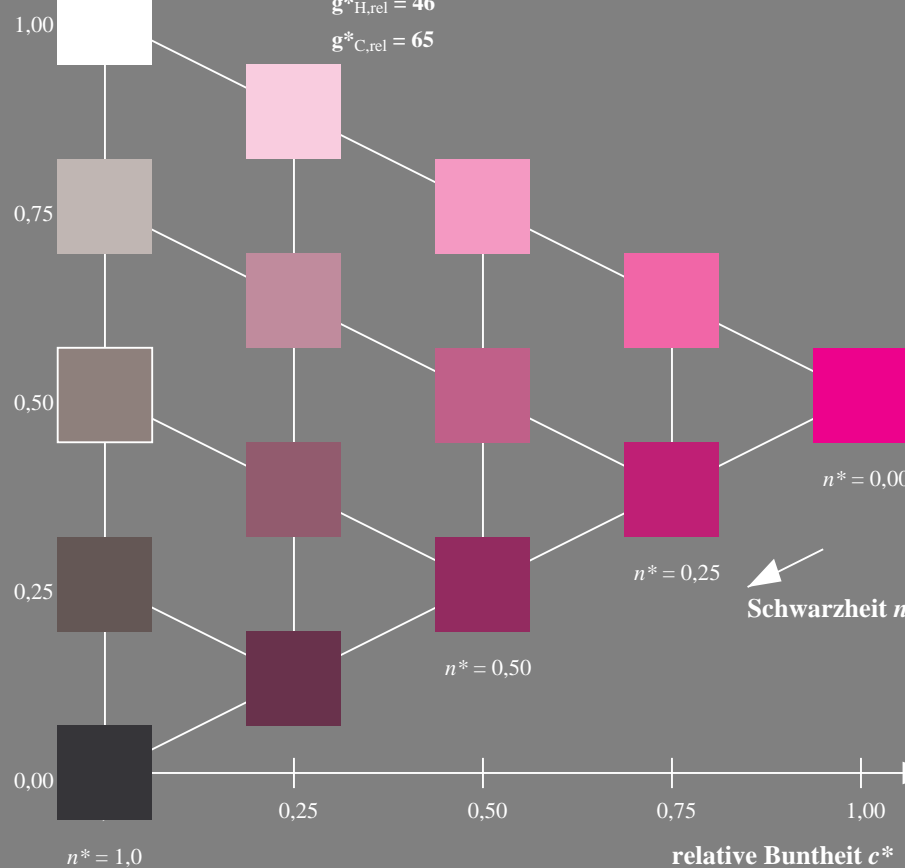
rgb\*Ma: 1.0 0.0 1.0

Dreiecks-Helligkeit  $t^*$ 

%Umfang

 $u^*_{rel} = 149$ 

%Regularität

 $g^*_{H,rel} = 46$  $g^*_{C,rel} = 65$ 

UG290-7, 5 stufige Reihen für konstanten CIELAB Buntton 325/360 = 0.903 (links)

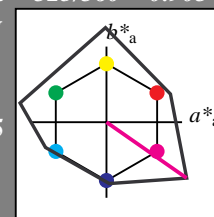
Ausgabe: Farbmétrisches Reflexions-System NCS11

für Buntton  $h^* = lab \cdot h = 325/360 = 0.903$  $LAB \cdot LCH$ ,  $LAB \cdot NCH$ 

D65: Buntton B50R

LCH\*Ma: 44 129 325

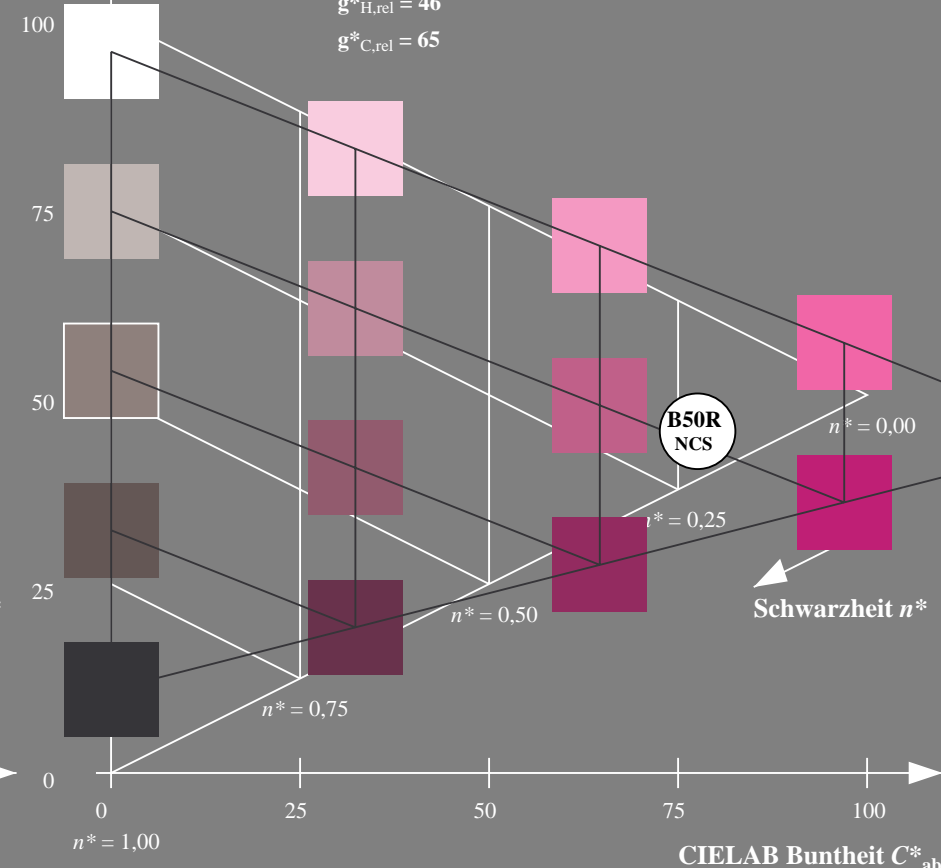
rgb\*Ma: 1.0 0.0 1.0

CIELAB-Helligkeit  $L^*$ 

%Umfang

 $u^*_{rel} = 149$ 

%Regularität

 $g^*_{H,rel} = 46$  $g^*_{C,rel} = 65$ 

5 stufige Reihen für konstanten CIELAB Buntton 325/360 = 0.903 (rechts)

BAM-Prüfvorlage UG29; Farbmétrik-Systeme ORS18 & ORS18input:  $cmY0^* setcmykcolor$ 

D65: Koordinaten-Systeme von 5stufigen Farbreihen für 10 Bunttoninput: Startup (S) data dependend

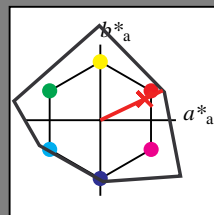
## Eingabe: Farbmétrisches Reflexions-System NCS11

für Buntton  $h^* = lab^*h = 25/360 = 0.071$  $lab^*tch$  und  $lab^*nch$ 

D65: Buntton R

LCH\*Ma: 48 91 25

rgb\*Ma: 1.0 0.02 0.0

Dreiecks-Helligkeit  $t^*$ 

%Umfang

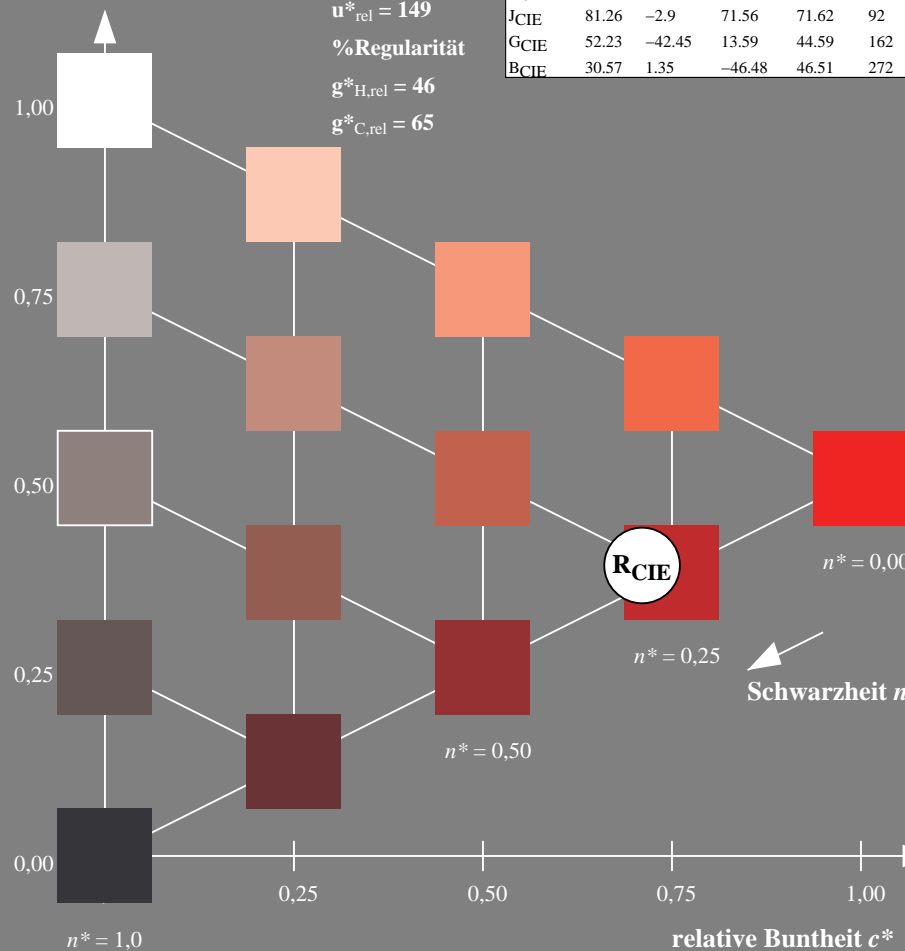
 $u^*_{rel} = 149$ 

%Regularität

 $g^*_{H,rel} = 46$  $g^*_{C,rel} = 65$ 

## NCS11; adaptierte CIELAB-Daten

	$L^*=L^*_a$	$a^*_a$	$b^*_a$	$C^*_{ab,a}$	$h^*_{ab,a}$
RMa	47.15	84.64	37.25	92.48	24
JMa	91.37	-1.27	125.03	125.03	91
GMa	63.07	-114.28	25.35	117.06	167
G50BMa	59.47	-80.6	-33.45	87.28	203
BMa	49.01	3.65	-81.19	81.28	273
B50RMa	44.06	106.09	-73.93	129.32	325
NMa	10.99	0.0	0.0	0.0	0
WMa	95.41	0.0	0.0	0.0	0
RCIE	39.92	58.69	27.98	65.01	25
JCIE	81.26	-2.9	71.56	71.62	92
GCIE	52.23	-42.45	13.59	44.59	162
BCIE	30.57	1.35	-46.48	46.51	272



UG290-7, 5 stufige Reihen für konstanten CIELAB Buntton 25/360 = 0.071 (links)

BAM-Prüfvorlage UG29; Farbmétrik-Systeme ORS18 & ORS18input:  $cmY0^* setcmykcolor$ 

D65: Koordinaten-Systeme von 5stufigen Farbreihen für 10 Bunttoninput: Startup (S) data dependend

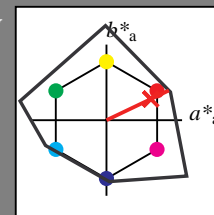
## Ausgabe: Farbmétrisches Reflexions-System NCS11

für Buntton  $h^* = lab^*h = 25/360 = 0.071$  $LAB^*LCH$ ,  $LAB^*NCH$ 

D65: Buntton R

LCH\*Ma: 48 91 25

rgb\*Ma: 1.0 0.02 0.0

CIELAB-Helligkeit  $L^*$ 

%Umfang

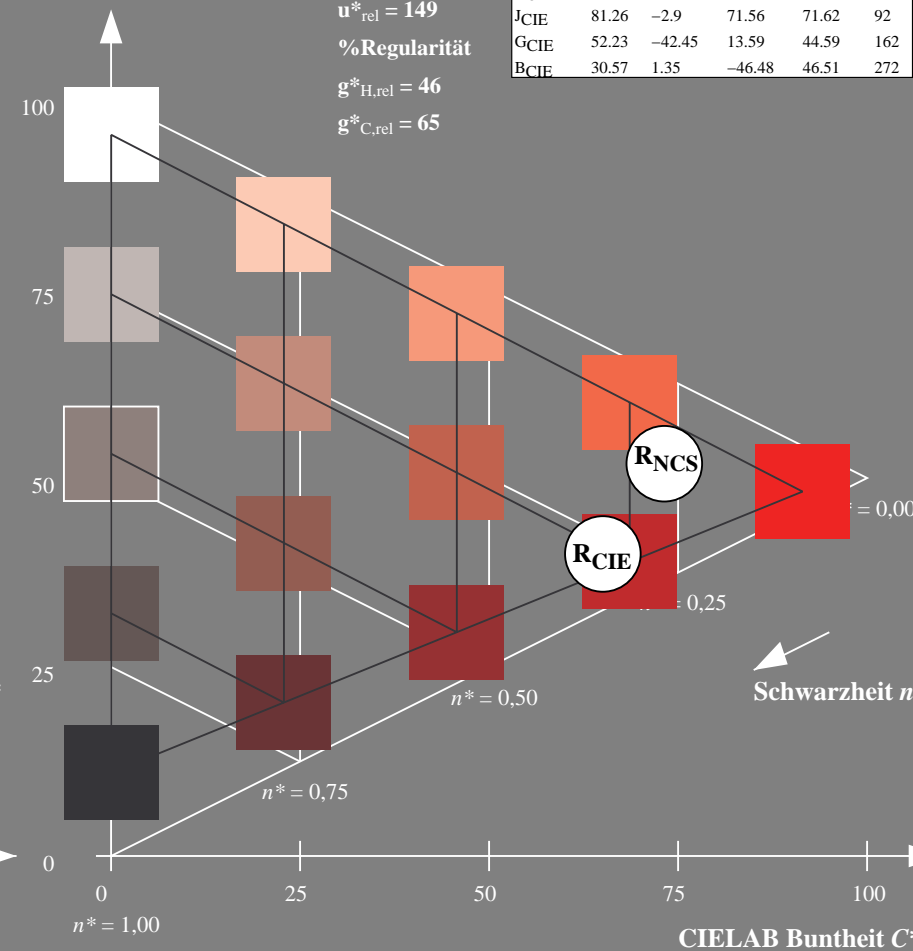
 $u^*_{rel} = 149$ 

%Regularität

 $g^*_{H,rel} = 46$  $g^*_{C,rel} = 65$ 

## NCS11; adaptierte CIELAB-Daten

	$L^*=L^*_a$	$a^*_a$	$b^*_a$	$C^*_{ab,a}$	$h^*_{ab,a}$
RMa	47.15	84.64	37.25	92.48	24
JMa	91.37	-1.27	125.03	125.03	91
GMa	63.07	-114.28	25.35	117.06	167
G50BMa	59.47	-80.6	-33.45	87.28	203
BMa	49.01	3.65	-81.19	81.28	273
B50RMa	44.06	106.09	-73.93	129.32	325
NMa	10.99	0.0	0.0	0.0	0
WMa	95.41	0.0	0.0	0.0	0
RCIE	39.92	58.69	27.98	65.01	25
JCIE	81.26	-2.9	71.56	71.62	92
GCIE	52.23	-42.45	13.59	44.59	162
BCIE	30.57	1.35	-46.48	46.51	272



5 stufige Reihen für konstanten CIELAB Buntton 25/360 = 0.071 (rechts)



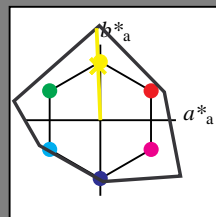
Eingabe: Farbmétrisches Reflexions-System NCS11

für Buntton  $h^* = lab \cdot h = 92/360 = 0.256$  $lab \cdot tch$  und  $lab \cdot nch$ 

D65: Buntton J

LCH\*Ma: 90 122 92

rgb\*Ma: 0.97 1.0 0.0

Dreiecks-Helligkeit  $t^*$ 

%Umfang

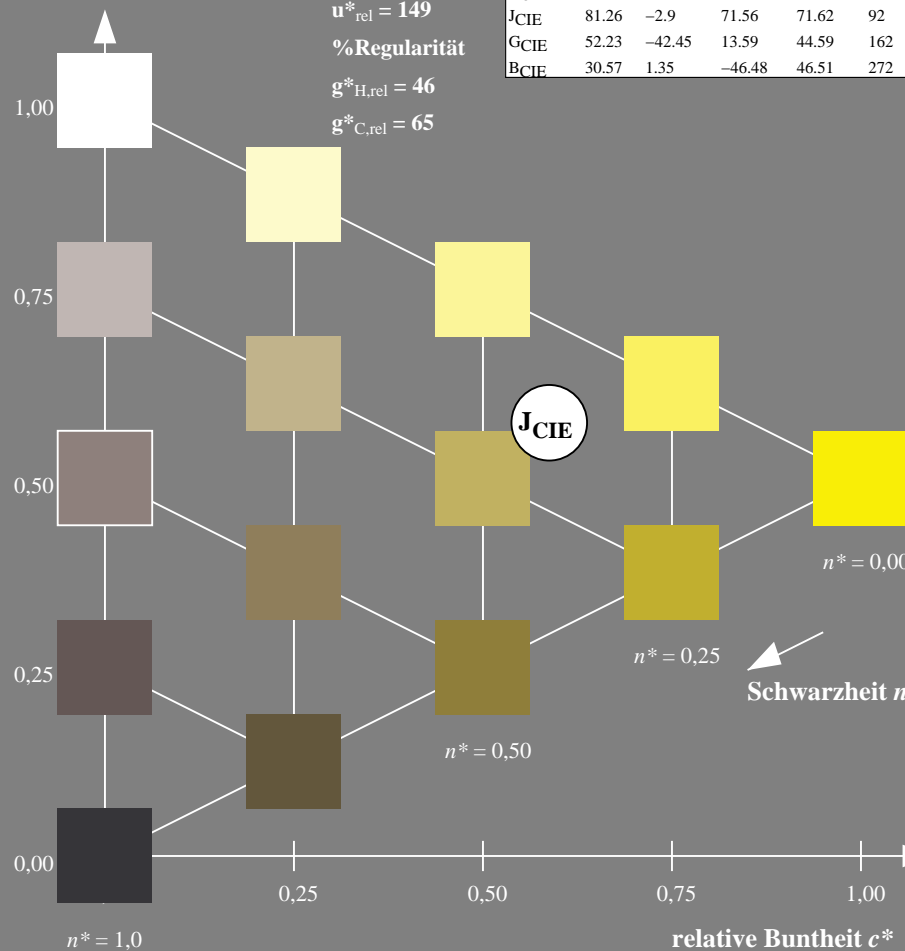
 $u^*_{rel} = 149$ 

%Regularität

 $g^*_{H,rel} = 46$  $g^*_{C,rel} = 65$ 

NCS11; adaptierte CIELAB-Daten

	$L^* = L^*_a$	$a^*_a$	$b^*_a$	$C^*_{ab,a}$	$h^*_{ab,a}$
RMa	47.15	84.64	37.25	92.48	24
JMa	91.37	-1.27	125.03	125.03	91
GMa	63.07	-114.28	25.35	117.06	167
G50BMa	59.47	-80.6	-33.45	87.28	203
BMa	49.01	3.65	-81.19	81.28	273
B50RMa	44.06	106.09	-73.93	129.32	325
NMa	10.99	0.0	0.0	0.0	0
WMa	95.41	0.0	0.0	0.0	0
RCIE	39.92	58.69	27.98	65.01	25
JCIE	81.26	-2.9	71.56	71.62	92
GCIE	52.23	-42.45	13.59	44.59	162
BCIE	30.57	1.35	-46.48	46.51	272



UG290-7, 5 stufige Reihen für konstanten CIELAB Buntton 92/360 = 0.256 (links)

BAM-Prüfvorlage UG29; Farbmétrik-Systeme ORS18 & ORS18input: *cmY0\* setcmykcolor*D65: Koordinaten-Systeme von 5stufigen Farbreihen für 10 Bunttoninput: *Startup (S) data dependend*

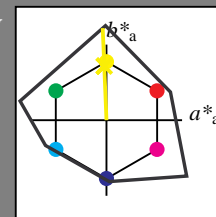
Ausgabe: Farbmétrisches Reflexions-System NCS11

für Buntton  $h^* = lab \cdot h = 92/360 = 0.256$  $LAB \cdot LCH$ ,  $LAB \cdot NCH$ 

D65: Buntton J

LCH\*Ma: 90 122 92

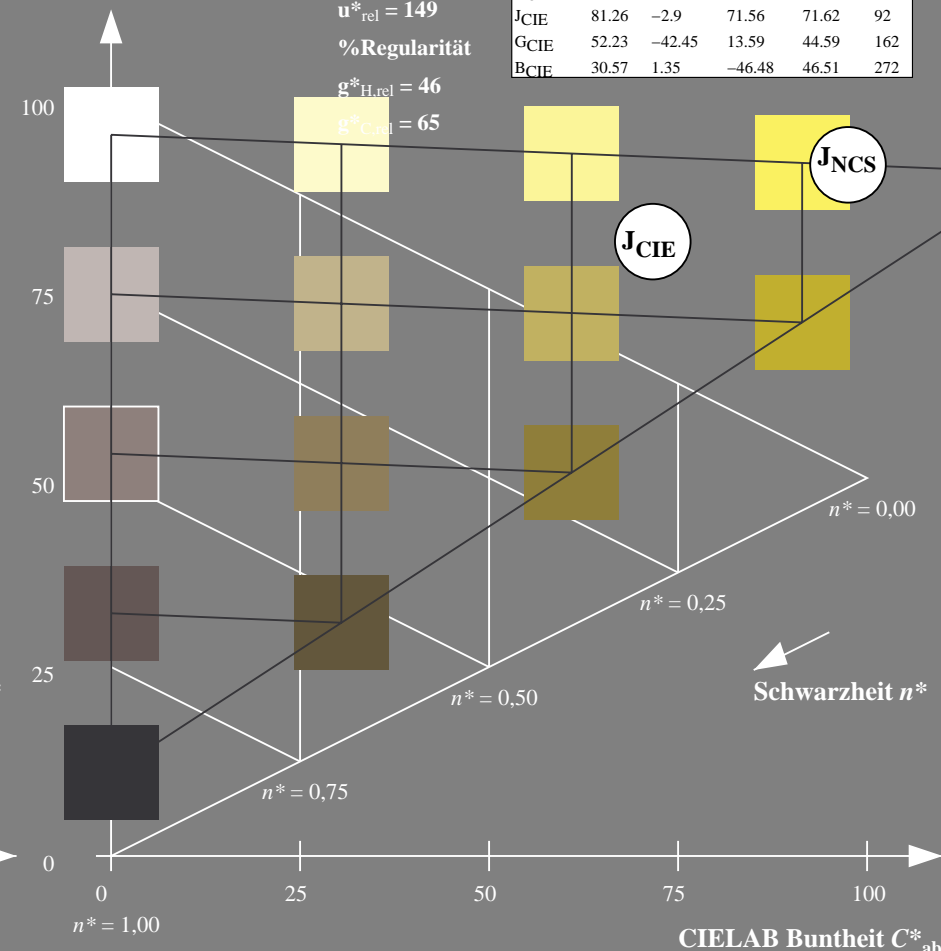
rgb\*Ma: 0.97 1.0 0.0

CIELAB-Helligkeit  $L^*$ 

%Umfang

 $u^*_{rel} = 149$ 

%Regularität

 $g^*_{H,rel} = 46$  $g^*_{C,rel} = 65$ 

5 stufige Reihen für konstanten CIELAB Buntton 92/360 = 0.256 (rechts)



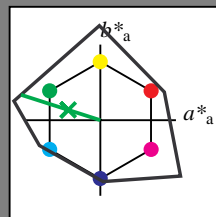
## Eingabe: Farbmétrisches Reflexions-System NCS11

für Buntton  $h^* = lab^*h = 162/360 = 0,451$  $lab^*tch$  und  $lab^*nch$ 

D65: Buntton G

LCH\*Ma: 65 110 162

rgb\*Ma: 0.08 1.0 0.0



## NCS11; adaptierte CIELAB-Daten

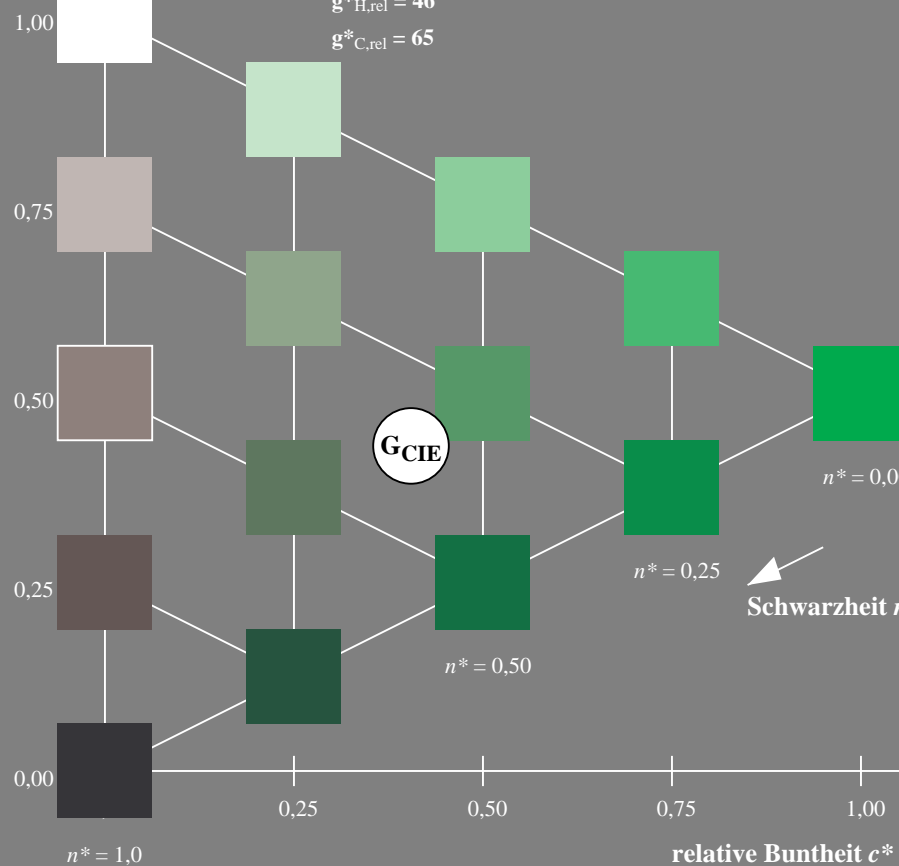
	$L^*=L^*_a$	$a^*_a$	$b^*_a$	$C^*_{ab,a}$	$h^*_{ab,a}$
RMa	47.15	84.64	37.25	92.48	24
JMa	91.37	-1.27	125.03	125.03	91
GMa	63.07	-114.28	25.35	117.06	167
G50BMa	59.47	-80.6	-33.45	87.28	203
BMa	49.01	3.65	-81.19	81.28	273
B50RMa	44.06	106.09	-73.93	129.32	325
NMa	10.99	0.0	0.0	0.0	0
WMa	95.41	0.0	0.0	0.0	0
RCIE	39.92	58.69	27.98	65.01	25
JCIE	81.26	-2.9	71.56	71.62	92
GCIE	52.23	-42.45	13.59	44.59	162
BCIE	30.57	1.35	-46.48	46.51	272

Dreiecks-Helligkeit  $t^*$ 

%Umfang

 $u^*_{rel} = 149$ 

%Regularität

 $g^*_{H,rel} = 46$  $g^*_{C,rel} = 65$ 

UG290-7, 5 stufige Reihen für konstanten CIELAB Buntton 162/360 = 0.451 (links)

BAM-Prüfvorlage UG29; Farbmétrik-Systeme ORS18 &amp; ORS18input: cmy0\* setcmykcolor

D65: Koordinaten-Systeme von 5stufigen Farbreihen für 10 Bunttoninput: Startup (S) data dependend

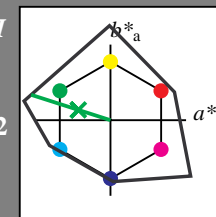
## Ausgabe: Farbmétrisches Reflexions-System NCS11

für Buntton  $h^* = lab^*h = 162/360 = 0,451$  $LAB^*LCH, LAB^*NCH$ 

D65: Buntton G

LCH\*Ma: 65 110 162

rgb\*Ma: 0.08 1.0 0.0



## NCS11; adaptierte CIELAB-Daten

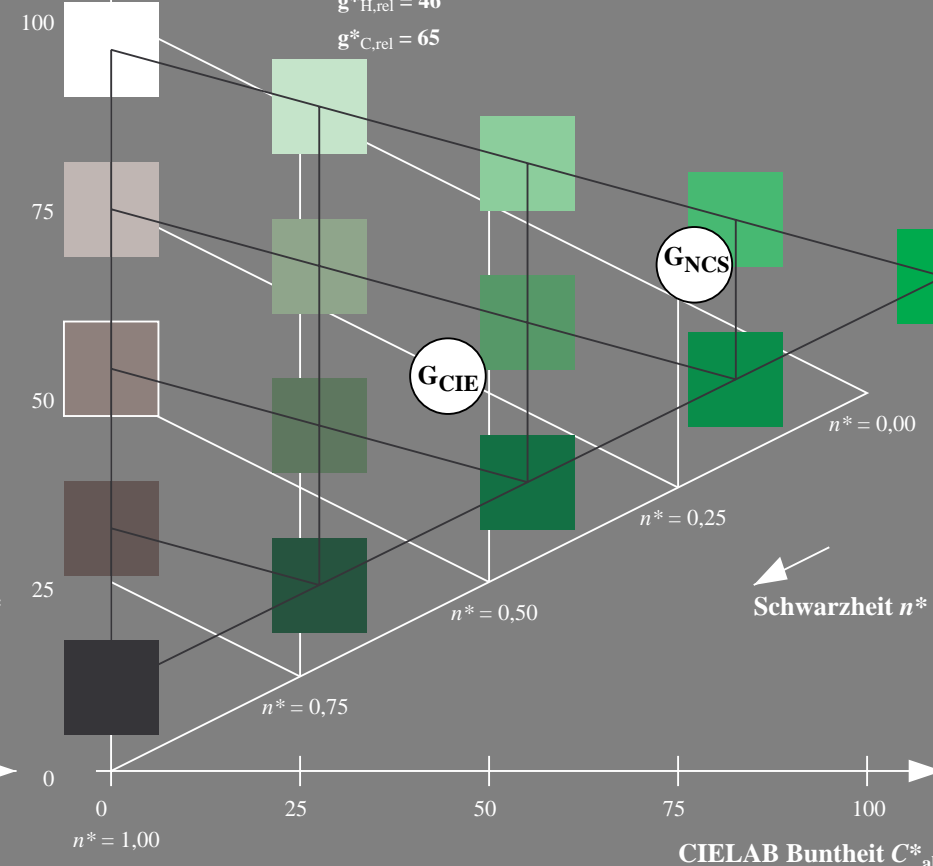
	$L^*=L^*_a$	$a^*_a$	$b^*_a$	$C^*_{ab,a}$	$h^*_{ab,a}$
RMa	47.15	84.64	37.25	92.48	24
JMa	91.37	-1.27	125.03	125.03	91
GMa	63.07	-114.28	25.35	117.06	167
G50BMa	59.47	-80.6	-33.45	87.28	203
BMa	49.01	3.65	-81.19	81.28	273
B50RMa	44.06	106.09	-73.93	129.32	325
NMa	10.99	0.0	0.0	0.0	0
WMa	95.41	0.0	0.0	0.0	0
RCIE	39.92	58.69	27.98	65.01	25
JCIE	81.26	-2.9	71.56	71.62	92
GCIE	52.23	-42.45	13.59	44.59	162
BCIE	30.57	1.35	-46.48	46.51	272

CIELAB-Helligkeit  $L^*$ 

%Umfang

 $u^*_{rel} = 149$ 

%Regularität

 $g^*_{H,rel} = 46$  $g^*_{C,rel} = 65$ 

5 stufige Reihen für konstanten CIELAB Buntton 162/360 = 0.451 (rechts)

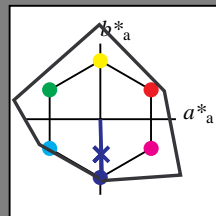
## Eingabe: Farbmétrisches Reflexions-System NCS11

für Buntton  $h^* = lab \cdot h = 272/360 = 0,755$  $lab \cdot tch$  und  $lab \cdot nch$ 

D65: Buntton B

LCH\*Ma: 49 80 272

rgb\*Ma: 0.0 0.02 1.0



## NCS11; adaptierte CIELAB-Daten

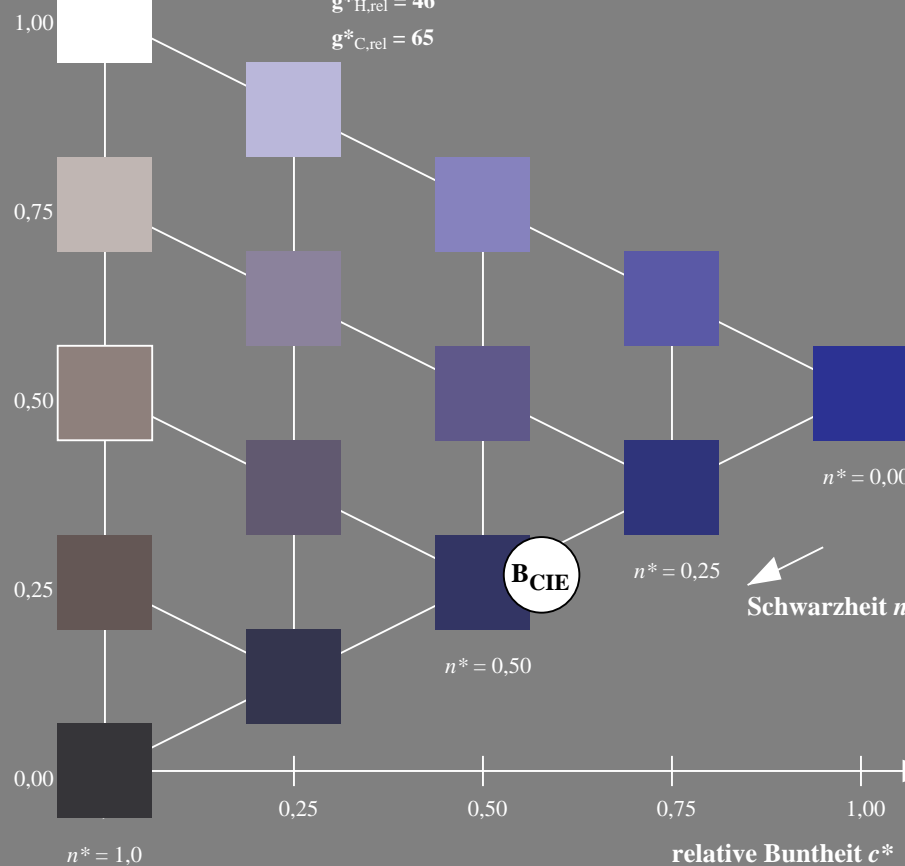
	$L^* = L^*_a$	$a^*_a$	$b^*_a$	$C^*_{ab,a}$	$h^*_{ab,a}$
RMa	47.15	84.64	37.25	92.48	24
JMa	91.37	-1.27	125.03	125.03	91
GMa	63.07	-114.28	25.35	117.06	167
G50BMa	59.47	-80.6	-33.45	87.28	203
BMa	49.01	3.65	-81.19	81.28	273
B50RMa	44.06	106.09	-73.93	129.32	325
NMa	10.99	0.0	0.0	0.0	0
WMa	95.41	0.0	0.0	0.0	0
RCIE	39.92	58.69	27.98	65.01	25
JCIE	81.26	-2.9	71.56	71.62	92
GCIE	52.23	-42.45	13.59	44.59	162
BCIE	30.57	1.35	-46.48	46.51	272

Dreiecks-Helligkeit  $t^*$ 

%Umfang

 $u^*_{rel} = 149$ 

%Regularität

 $g^*_{H,rel} = 46$  $g^*_{C,rel} = 65$ 

UG290-7, 5 stufige Reihen für konstanten CIELAB Buntton 272/360 = 0.755 (links)

BAM-Prüfvorlage UG29; Farbmétrik-Systeme ORS18 &amp; ORS18input: cmy0\* setcmykcolor

D65: Koordinaten-Systeme von 5stufigen Farbreihen für 10 Bunttoninput: Startup (S) data dependend

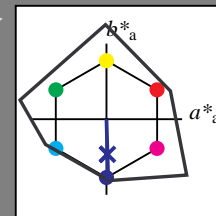
## Ausgabe: Farbmétrisches Reflexions-System NCS11

für Buntton  $h^* = lab \cdot h = 272/360 = 0,755$  $LAB \cdot LCH$ ,  $LAB \cdot NCH$ 

D65: Buntton B

LCH\*Ma: 49 80 272

rgb\*Ma: 0.0 0.02 1.0



## NCS11; adaptierte CIELAB-Daten

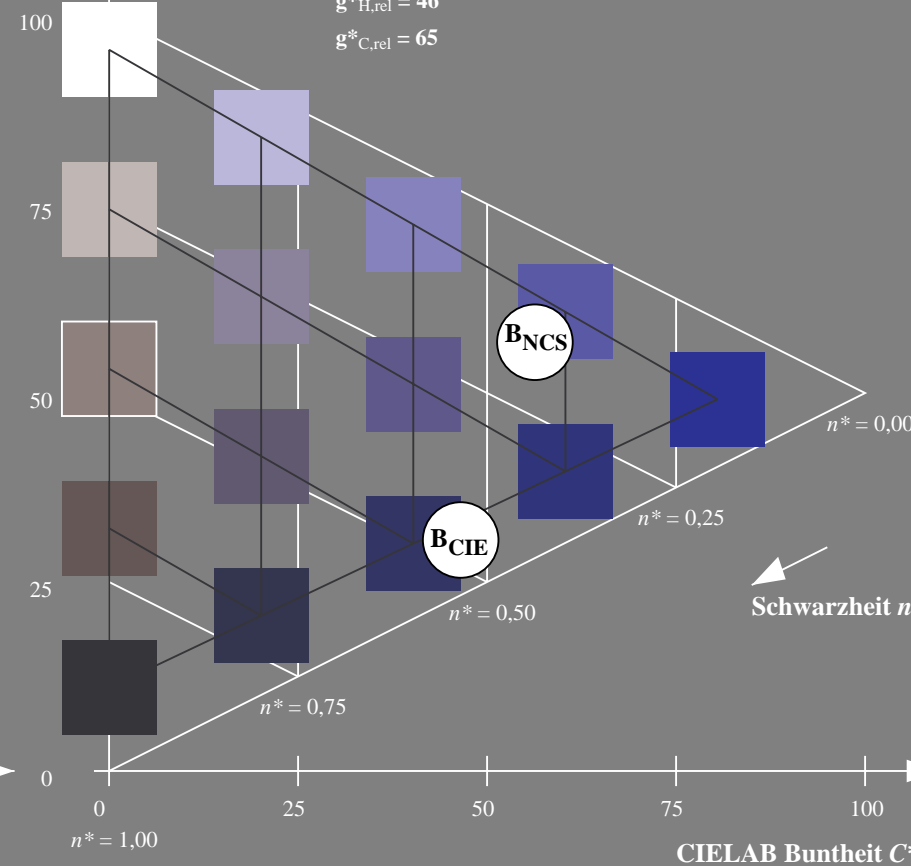
	$L^* = L^*_a$	$a^*_a$	$b^*_a$	$C^*_{ab,a}$	$h^*_{ab,a}$
RMa	47.15	84.64	37.25	92.48	24
JMa	91.37	-1.27	125.03	125.03	91
GMa	63.07	-114.28	25.35	117.06	167
G50BMa	59.47	-80.6	-33.45	87.28	203
BMa	49.01	3.65	-81.19	81.28	273
B50RMa	44.06	106.09	-73.93	129.32	325
NMa	10.99	0.0	0.0	0.0	0
WMa	95.41	0.0	0.0	0.0	0
RCIE	39.92	58.69	27.98	65.01	25
JCIE	81.26	-2.9	71.56	71.62	92
GCIE	52.23	-42.45	13.59	44.59	162
BCIE	30.57	1.35	-46.48	46.51	272

CIELAB-Helligkeit  $L^*$ 

%Umfang

 $u^*_{rel} = 149$ 

%Regularität

 $g^*_{H,rel} = 46$  $g^*_{C,rel} = 65$ 

5 stufige Reihen für konstanten CIELAB Buntton 272/360 = 0.755 (rechts)